

# REGIONE PUGLIA

## Provincia di Foggia

### COMUNE DI SANT'AGATA DI PUGLIA (FG)

OGGETTO

PROGETTO PER LA REALIZZAZIONE DI UN IMPIANTO EOLICO  
NEL COMUNE DI SANT'AGATA DI PUGLIA (FG)

COMMITTENTE

## Wind Energy Sant Agata Srl

Via Caravaggio n.125  
Pescara (PE)  
P.IVA 02217800685  
Pec: windsantagatasrl@legpec.it

PROGETTAZIONE

Codice Commessa PHEEDRA: 18\_38\_EO\_VWS



PHEEDRA S.r.l. Via Lago di Nemi, 90  
74121 - Taranto  
Tel. 099.7722302 - Fax 099.9870285  
e-mail: info@pheedra.it - web: www.pheedra.it

Dott. Ing. Angelo Micolucci



REV.	DATA	ATTIVITA'	REDATTO	VERIFICATO	APROVATO
2	Dicembre 2019	Rimodulazione layout a 7 torri a seguito di osservazioni	CD	AM	VS
1	Novembre 2018	PRIMA EMISSIONE	CD	AM	VS

OGGETTO DELL'ELABORATO

## GITTATA MASSIMA ELEMENTI ROTANTI

FORMATO	SCALA	CODICE DOCUMENTO					NOME FILE	FOGLI
		SOC.	DISC.	TIPO DOC.	PROG.	REV.		
A4	-	VWS	AMB	REL	043	02	VWS-CIV-REL-043-02	

**SOMMARIO**

1. PREMESSA ..... 2  
1.2. Caratteristiche tecniche .....4  
2. CALCOLO DELLA GITTATA ..... 5  
2.2. Distacco della pala intera .....10  
1.1. ROTTURA DI FRAMMENTO CON LUNGHEZZA 10 m .....15  
1.2. ROTTURA DI FRAMMENTO CON LUNGHEZZA 5 m .....19  
1.3. ROTTURA DI FRAMMENTO CON LUNGHEZZA 1 m .....23  
3. CONCLUSIONI ..... 27

<b>Wind Energy Sant Agata Srl</b> Via Caravaggio, 125 65125 – Pescara windsantagatasrl@legpec.it	<b>PROGETTO PER LA REALIZZAZIONE DI UN  IMPIANTO EOLICO NEL COMUNE DI  SANT'AGATA DI PUGLIA (FG)</b>	Nome del file: <b>VWS-CIV-REL-043_02</b>
---	--	---

## 1. PREMESSA

La società “Wind Energy Sant Agata Srl ” è promotrice di un progetto per l’installazione di un Impianto Eolico nel territorio comunale di Sant’Agata di Puglia (FG) su di un’area che si è rivelata interessante per lo sviluppo di un impianto eolico.

Il progetto originario presentato dalla Società Wind Energy Sant Agata Srl al Ministero dell’Ambiente e della Tutela del Territorio e del Mare, del quale lo stesso Ministero ha provveduto a dare evidenza per via telematica a tutte le Amministrazioni ed agli Enti interessati, con nota prot. 5938/DVA del 11/03/2019, ai sensi del D.Lgs. 152/2006, riguardava la realizzazione di un impianto eolico composto da 11 aerogeneratori ognuno da 3,60 MW da installare nel comune di Sant’Agata di Puglia (FG) in località “Viticone Palino, Serro Lucarelli, Monte Rotondo”, con opere di connessione ricadenti anche nel comune di Deliceto (FG).

Nell’ambito della riunione della Commissione Tecnica di Verifica dell’impatto Ambientale VIA e VAS tenutasi presso il Ministero dell’Ambiente e della Tutela del Territorio e del Mare in data 12/04/2019 è emersa la necessità di produrre documentazione integrativa. Pertanto, a seguito delle osservazioni pervenute alla Società proponente, prese in considerazione le richieste di integrazioni avanzate dal Ministero dell’Ambiente e della Tutela del Territorio e del Mare e congiuntamente dal Ministero per i Beni e le Attività Culturali, si è ritenuto opportuno rivalutare il parco in progetto attuando sia una riduzione del numero di aerogeneratori, sia una delocalizzazione di alcuni di essi, al fine di minimizzare ulteriormente gli impatti e quindi rispondere adeguatamente alle richieste degli Enti.

In oltre il nuovo layout tiene conto delle osservazioni presentate, in sede di VIA, dalle società :

- Società Agricola Palino e da Lapietra Sant’Agata Srl in data 09/05/2019 in relazione alla presenza di una centrale a Biomassa e alla presenza di un impianto eolico da 15 MW presentato dalla società Margherita che ha ottenuto A.U. ai sensi del D.Lgs.387/03 con D.D. n.28 del 27/02/2019;
- Società Simobile s.r.l. in data 19/04/2019 per la presenza in località Paolino di un progetto in fase avanzata di un impianto da fonte eolica composto da 11 aerogeneratori presentato dalla società Energy Wind;
- Società ATS Energia PE Sant’Agata s.r.l. in data 09/05/2019, per l’eventuale sovrapposizione con un loro impianto da fonte eolica composto da 19 aerogeneratori in fase di A.U. presso la Regione Puglia;

per cui si è provveduto a rinunciare ad alcune torri previste nel progetto iniziale o alla delocalizzazione di alcune.

Il progetto, così come proposto in questa revisione, prevede un impianto eolico composto da 7 aerogeneratori ognuno da 3,60 MW, per una potenza totale di 25,2 MW da installare nel comune

<b>PHEEDRA Srl</b> Servizi di Ingegneria Integrata Via Lago di Nemi, 90 74121 – Taranto (Italy) Tel. +39.099.7722302 – Fax: +39.099.9870285 Email: info@pheedra.it – web: www.pheedra.it	<b>RELAZIONE SULA GITTATA MASSIMA  DEGLI ELEMENTI ROTANTI</b>	Pagina 2 di 29
---	---	----------------

<b>Wind Energy Sant Agata Srl</b> Via Caravaggio, 125 65125 – Pescara windsantagatasrl@legpec.it	<b>PROGETTO PER LA REALIZZAZIONE DI UN  IMPIANTO EOLICO NEL COMUNE DI  SANT'AGATA DI PUGLIA (FG)</b>	Nome del file: <b>VWS-CIV-REL-043_02</b>
---	--	---

**di Sant'Agata di Puglia (FG) in località "Viticone Palino, Serro Lucarelli, Monte Rotondo", con opere di connessione ricadenti anche nel comune di Deliceto (FG).**

La presente relazione descrive lo studio condotto per realizzazione di un "Parco Eolico" per la produzione di energia elettrica da fonte rinnovabile di tipo eolica in Sant'Agata di Puglia, relativamente al calcolo della Gittata, qualora in caso di incidente, dovessero separare dei frammenti di blade.

Il progetto riguarda la realizzazione di un impianto eolico composto da 7 aerogeneratori ognuno da 3,60 MW da installare nel comune di Sant'Agata di Puglia (FG) in località "Viticone Palino, Serro Lucarelli, Monte Rotondo", con opere di connessione ricadenti anche nel comune di Deliceto (FG), commissionato dalla società Wind Energy Sant Agata Srl.

Il parco eolico in progetto risulta essere composto da 7 torri eoliche con potenza nominale per singolo aerogeneratore di 3,6 MW, per potenza nominale totale di 25,2 MW.

Il rischio di incidenti connessi all'esercizio di un campo eolico sono particolarmente bassi, in quanto sono pressoché nulli i pericoli di esplosione, di contaminazione, di incendio, poiché ciascun aerogeneratore è costituito da una serie di macchine elettriche che vengono costantemente monitorate e gestite mediante l'utilizzo di stazioni telematiche locali e remote, nonché viene sottoposto a periodiche manutenzioni che ne assicurino il corretto funzionamento e la integrità delle componenti meccaniche, elettriche ed elettroniche. Inoltre per fugare qualsiasi rischio conseguente alla remota ma sempre possibile rottura accidentale degli aerogeneratori, gli stessi saranno costruiti seguendo le indicazioni di sicurezza previste nelle Linee Guida. Ossia la distanza delle turbine dalle aree edificabili dei centri urbani sarà 15 volte il diametro dell'elica e comunque tale distanza sarà non inferiore a 1 km.

<b>PHEEDRA Srl</b> Servizi di Ingegneria Integrata Via Lago di Nemi, 90 74121 – Taranto (Italy) Tel. +39.099.7722302 – Fax: +39.099.9870285 Email: info@pheedra.it – web: www.pheedra.it	<b>RELAZIONE SULA GITTATA MASSIMA  DEGLI ELEMENTI ROTANTI</b>	Pagina 3 di 29
---	---	----------------

## 1.2. CARATTERISTICHE TECNICHE

Il parco eolico in progetto prevede l'impiego di aerogeneratori con diametri dei rotori pari a 137 m.

La procedura seguita per il calcolo della gittata massima, in caso di rottura accidentale di un elemento rotante di un aerogeneratore prende in considerazione le condizioni al contorno più gravose, in maniera tale da aumentare il grado di sicurezza massimo.

Per tale regione si è considerato il caso di rottura per distacco di un aerogeneratore dalle seguenti caratteristiche:

Diametro Rotore [m]	137
Area Spazzata [m2]	14741
Altezza del mozzo [m]	111,5
Numero di pale	3
Potenza nominale [MW]	3,60
Rotazione	oraria
Velocità massima delle pale in punta (m/s)	94
Controllo della Velocità	Angolo di Pitch
Velocità rotore [rpm]	6.7 – 13.1

*Tabella 1 - Specifiche tecniche dell'aerogeneratore*

La presente relazione è riferita al calcolo della gittata massima di elementi rotanti in caso di rottura accidentale. Nella presente relazione si prenderanno in considerazione le condizioni realistiche, tenendo conto delle forze di attrito viscoso e della complessità del moto rotazionale, ovvero della rotazione della pala durante il moto di caduta. Inoltre verrà effettuato anche il calcolo nel caso di rottura di frammenti di pala con specifico riferimento a frammenti di lunghezza pari a 10 m, 5 m e 1 m.

Ciascun aerogeneratore è del tipo tripala ad asse orizzontale, costituito da una torre tubolare metallica a tronco di cono alta 111,5 m e con un diametro alla base di circa 4,3 m. In cima alla torre troverà alloggio la navicella cui è collegato il rotore di diametro pari a 137 m, per un'altezza massima complessiva del sistema torre-pale di 180 m (TIP). La velocità del rotore sarà variabile e compresa nel range 6.7-13.1 giri/minuto, così come indicato dal costruttore.

Sarà effettuato il calcolo della gittata modellizzando, con opportune semplificazioni, il moto della pala o di un frammento di pala nell'aria considerando l'attrito viscoso o se si preferisce l'attrito dell'aria prodotto su di esso durante la caduta.

È bene precisare che eventi di distacco di una sezione della pala non si sono verificati a tutt'oggi sugli aerogeneratori in progetto o con caratteristiche similari. Danni all'estremità delle pale si sono spesso

manifestati a causa di fulminazione atmosferica. Infatti benché le pale siano dotate di un sistema di protezione dalle scariche atmosferiche che dovrebbe scaricare a terra la corrente di fulmine, talvolta si è verificato un danneggiamento all'estremità della pala che si apre per la separazione dei gusci che la compongono ma che non ha mai provocato distacchi di frammenti di dimensioni e peso significativi. Il tipico danno per fulminazione atmosferica diretta di una pala è quello riportato nella foto qui sotto.



*Figura 1 - Estremità della pala danneggiata da fulminazione atmosferica*

## 2. CALCOLO DELLA GITTATA

Sarà preso in considerazione il calcolo della gittata modellizzando, con opportune semplificazioni, il moto della pala o di un frammento di pala (in seguito indicato genericamente come “corpo”) nell’aria considerando l’attrito viscoso o se si preferisce l’attrito dell’aria prodotto su di esso durante la caduta. Tutte le approssimazioni e semplificazioni proposte sono a vantaggio di sicurezza, ovvero producono risultati con approssimazione in eccesso della gittata massima in caso di rottura di elementi rotanti, poiché il calcolo sarà fondato su un modello puramente balistico.

La determinazione dell’equazione del moto nel caso di un distacco di un corpo dal rotore in movimento è molto complessa. È evidente però che si tratta di un moto rotazionale complesso in quanto il corpo, quando inizierà il suo moto libero, continuerà anche a ruotare per l’ineluttabile legge fisica di conservazione della quantità di moto. Quindi nel moto libero (dopo il distacco) una parte dell’energia

<b>Wind Energy Sant Agata Srl</b> Via Caravaggio, 125 65125 – Pescara windsantagatasrl@legpec.it	<b>PROGETTO PER LA REALIZZAZIONE DI UN  IMPIANTO EOLICO NEL COMUNE DI  SANT'AGATA DI PUGLIA (FG)</b>	Nome del file: <b>VWS-CIV-REL-043_02</b>
---	--	---

cinetica posseduta dal corpo verrà dissipata nel moto rotazionale che finirà per generare turbolenze. Di queste dissipazioni non si terrà conto nel calcolo che pertanto sarà prudentiale.

Una volta che il corpo si sarà distaccato le forze inerziali agenti saranno la forza di gravità e le forze viscosse dovute alla resistenza prodotta dall'aria. La velocità di rotazione al momento del distacco, presa in considerazione per il calcolo, è quella massima indicata dal costruttore. È evidente che i sofisticati sistemi di controllo non permetterebbero al rotore dell'aerogeneratore di ruotare ad una velocità maggiore di quelle indicate nelle specifiche tecniche.

Le assunzioni del modello sono:

- Si fa riferimento al baricentro del corpo (sulla base di forma e dimensione opportunamente ipotizzate) e si applicano ad esso le equazioni del moto;
- Si assume come velocità iniziale  $V_0$  il vettore applicato nel baricentro di cui al punto precedente al momento del distacco, avente come modulo la velocità tangenziale corrispondente alla massima velocità angolare di esercizio per un raggio pari alla distanza del baricentro dal centro di rotazione e come direzione quella della tangente nello stesso baricentro al moto circolare da esso mantenuto fino al momento del distacco;
- Si determina l'angolo  $\alpha_0$  per il quale la gittata è massima. La definizione di questo valore avviene per tentativi successivi, e dipende essenzialmente dalla geometria del sistema (altezza torre tubolare, diametro rotore, dimensioni della pala o del frammento) e dalla velocità di rotazione al momento del distacco;
- Si tiene conto, nel volo e nella traiettoria del corpo, della spinta generata dal vento in direzione ortogonale al piano del rotore che per convenzione porremo come il piano XZ e che tenderà a spostare il corpo stesso dal piano di rotazione XZ del rotore. La velocità di spinta del vento considerata è quella massima a cui funziona l'aerogeneratore (cut off);
- Si ipotizza la temperatura ambientale di 40°C, che minimizza alle condizioni d'esercizio la densità atmosferica e quindi l'attrito viscoso.

Il modulo della forza di attrito agente sulla pala (o sul frammento) in moto libero dopo il distacco è dato dalla formula.

$$F_D = \frac{1}{2} \rho_{aria} \times C_d \times A \times V_{xz}^2$$

Dove:

- $\rho_{aria}$  è la densità dell'aria che cambia in relazione alla quota altimetrica del sito di installazione degli aerogeneratori ma anche in base alle dimensioni e quindi massime altezze raggiunte dal sistema torre tubolare + rotore;

<b>PHEEDRA Srl</b> Servizi di Ingegneria Integrata Via Lago di Nemi, 90 74121 – Taranto (Italy) Tel. +39.099.7722302 – Fax: +39.099.9870285 Email: info@pheedra.it – web: www.pheedra.it	<b>RELAZIONE SULA GITTATA MASSIMA  DEGLI ELEMENTI ROTANTI</b>	Pagina 6 di 29
---	---	----------------

- $C_d$  è il coefficiente di attrito ampiamente dipendente dalle caratteristiche geometriche della pala. Sulla base di dati riportati in letteratura tale valore è stato assunto pari a 1;
- $A$  è la superficie efficace che la pala oppone alla resistenza generata dall'aria;
- $V_{xz}$  è il modulo della proiezione del vettore velocità del corpo sul piano XZ misurata con riferimento al baricentro del corpo.

Il moto libero di un corpo di massa nota  $M$  sotto l'azione delle forze inerziali di gravità e di resistenza dell'aria è descritto, quindi, dalle seguenti equazioni:

$$a_x = d^2x/dt^2 = -1/M \times F_D \times \cos\alpha$$

$$a_y = d^2y/dt^2 = \frac{1}{2} \rho_{aria} \times C_d \times A \times (w - V_y)^2 / M$$

$$a_z = d^2z/dt^2 = -1/M \times (F_D \times \sin\alpha + M \times g)$$

$$F_D = \frac{1}{2} \rho_{aria} \times C_d \times A \times V_{xz}^2$$

Dove:

- $\alpha$  rappresenta l'arcotangente del rapporto  $V_z / V_x$  e cambia da istante a istante durante il moto libero di caduta;
- $w$  è il modulo della velocità del vento, supposta ortogonale al piano XZ e costante per tutta la durata del moto;
- $V_y$  è il modulo della componente della velocità del corpo avente la stessa direzione del vento;
- $g$  è l'accelerazione di gravità.

Le condizioni al contorno indipendenti sono:

- Temperatura ambiente e velocità del vento, impostate nei valori estremi di esercizio come precedentemente esposto;
- Altezza della torre, quota s.l.m. delle sue fondazioni ed eventuale dislivello del territorio circostante;
- Massa  $M$ , area efficace  $A$ , lunghezza  $L$  posizione del baricentro del corpo distaccato (posta a  $1/3$  della lunghezza nel caso dell'intera pala e a  $1/2$  nel caso di un frammento);
- $\alpha_0$  viene inizializzato al valore arbitrario di  $20^\circ$ , prossimo a valori descritti in letteratura per analoghi esperimenti;
- si pongono ascissa e ordinata del baricentro del corpo al momento del distacco  $X_0 = 0$  e  $Y_0 = 0$  (fissando l'origine del sistema di riferimento cartesiano come oltre precisato);

- si pone la componente iniziale del vettore velocità in direzione del vento  $V_{y0} = 0$ , in quanto tale vettore, nel momento del distacco, è determinato dal solo movimento del rotore che è supposto ortogonale al vento stesso.

Dalle precedenti dipendono le seguenti ulteriori condizioni:

- quota di distacco  $Z_0$ ;
- densità atmosferica pari a iniziale;
- componenti iniziali  $V_{x0}$  e  $V_{z0}$  del vettore velocità e tutte le componenti del vettore accelerazione;

La soluzione del sistema di equazioni viene determinata con il metodo di Eulero che è un metodo iterativo per la risoluzione di equazioni differenziali partendo dalle condizioni al contorno. Tale soluzione ci permetterà di definire il moto del corpo distaccato nello spazio tridimensionale rappresentato in un sistema cartesiano ortogonale XYZ, in cui:

- il piano XY rappresenta il piano orizzontale, corrispondente al livello del mare;
- il piano XZ viene fatto coincidere con il piano su cui giace il rotore (ortogonale alla direzione del vento);
- il piano YZ viene fissato, ortogonalmente agli altri due piani coordinati, facendo coincidere l'origine del sistema con la proiezione sul piano XY del baricentro del corpo nell'istante del distacco.

Con questa rappresentazione geometrica è evidente che al momento della definizione della gittata massima si dovrà tenere in conto della lunghezza del corpo in caduta, ma anche della geometria del modello. Ora, poiché la gittata è calcolata a partire dal centro torre, dovrà essere calcolata la distanza tra centro torre e punto di caduta del baricentro del corpo distaccato.

Nel punto di caduta si dovrà tenere poi in conto della lunghezza del frammento o della pala. Pertanto in definitiva la gittata massima, sarà uguale a:

$$G_{\max} = \text{distanza (centro torre, punto di caduta)} + 2/3L \text{ (nel caso di pala intera di lunghezza } L)$$

$$G_{\max} = \text{distanza (centro torre, punto di caduta)} + L/2 \text{ (nel caso del frammento di lunghezza } L)$$

Una volta impostato e risolto il modello con riferimento al valore di inizializzazione di  $\alpha_0$  si è proceduto per tentativi, provando a variare  $\alpha_0$ , di un grado per volta, nella direzione in cui  $G_{\max}$  risultava

aumentare e fino a che non si registrava un decremento, individuando in tal modo il valore di  $\alpha_0$  che massimizza  $G_{max}$ .

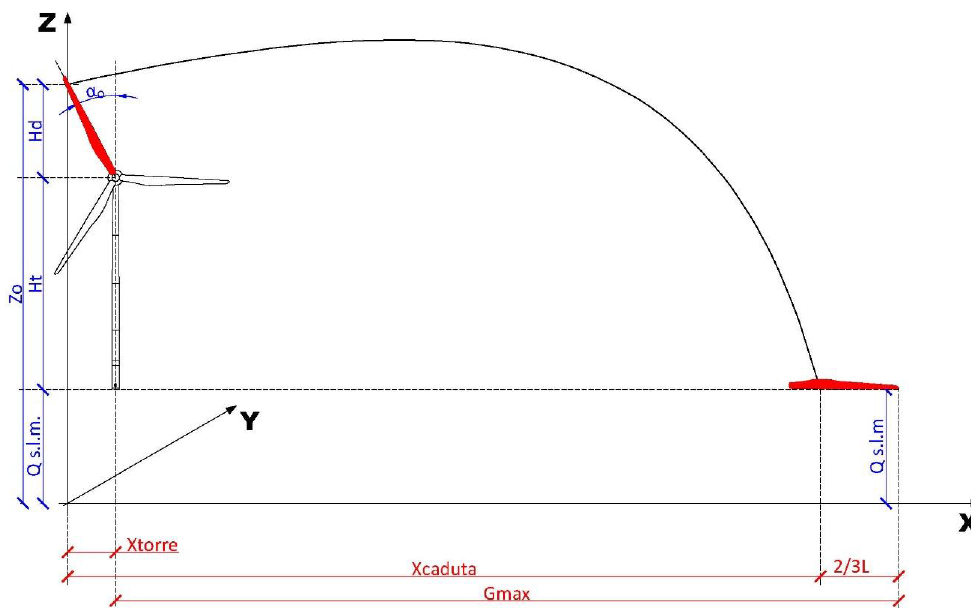


Figura 2 - Modello geometrico del distacco della pala intera

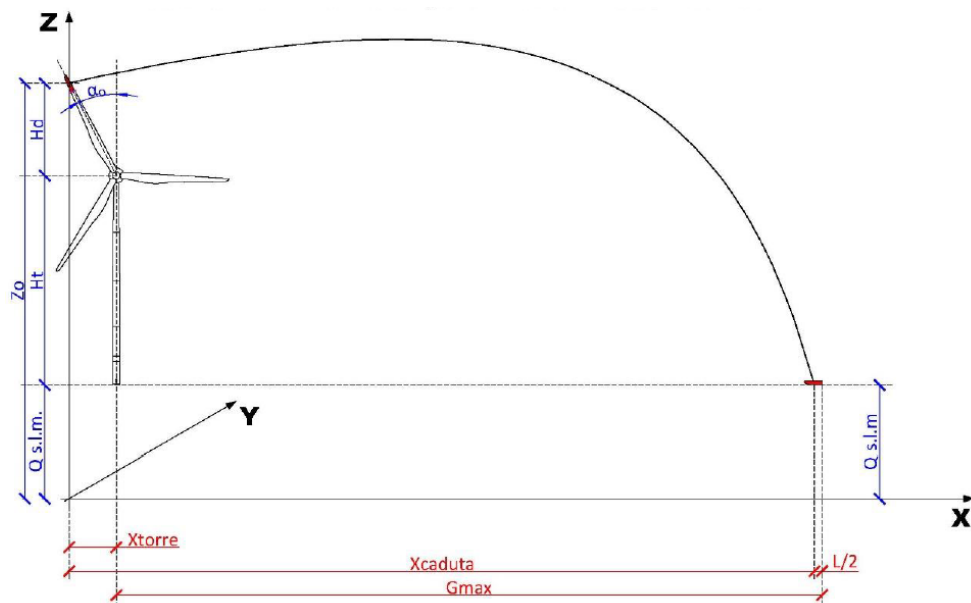


Figura 3 - Modello geometrico della rottura di un frammento di pala

## 2.2. DISTACCO DELLA PALA INTERA

Come detto il moto libero di un corpo di massa nota  $M$ , sotto l'azione delle forze inerziali di gravità e di resistenza dell'aria è descritto, dalle seguenti equazioni:

$$a_x = d^2x/dt^2 = -1/M \times F_D \times \cos\alpha$$

$$a_y = d^2y/dt^2 = \frac{1}{2} \rho_{\text{aria}} \times C_d \times A \times (w - V_y)^2 / M$$

$$a_z = d^2z/dt^2 = -1/M \times (F_D \times \sin\alpha + M \times g)$$

$$F_D = \frac{1}{2} \rho_{\text{aria}} \times C_d \times A \times V_{xz}^2$$

L'equazione differenziale è risolta con il metodo iterativo di Eulero, rispetto alle variabili  $x$ ,  $y$  e  $z$ . Nell'istante in cui  $z$  assume il valore pari al livello previsto per l'impatto (ovvero la quota media della base torre s.l.m.), il punto di caduta del baricentro della pala è calcolato (teorema di Pitagora) dai corrispondenti valori di  $x$  e  $y$  nello stesso istante. La gittata massima sarà poi ottenuta in base alle caratteristiche geometriche dell'intero sistema, ovvero l'estensione massima del corpo rispetto al baricentro e la distanza del centro torre dall'asse  $z$  del sistema di riferimento.

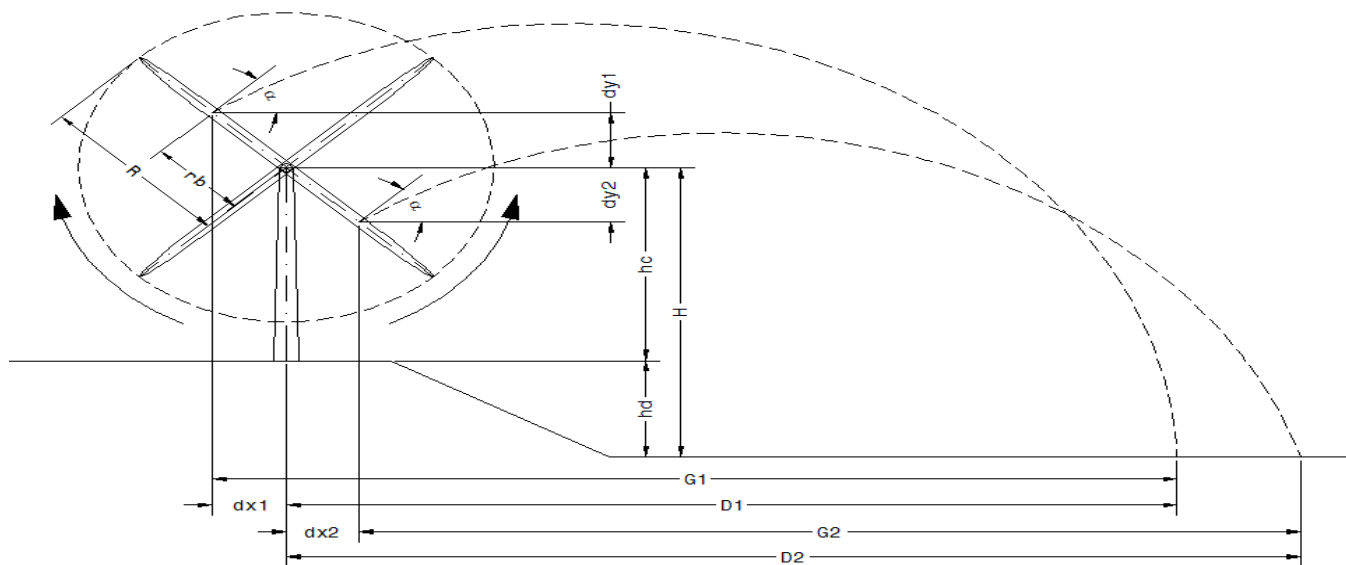
In pratica:

$$G_{\text{max}} = X_{\text{caduta}} - X_{\text{torre}} + 2/3L \text{ (pala intera di lunghezza } L \text{)}$$

Nel caso di distacco dell'intera pala i parametri assumeranno i seguenti valori:

- $M = 17.800$  kg dato del costruttore relativo al peso dell'intera pala;
- Altezza mozzo  $Q_t = 111,5$  m, diametro rotore 137 m, lunghezza pala 67,2 m, velocità di rotazione 13,10 g/min, che è la velocità massima consentita così come da specifiche del costruttore;
- La posizione del baricentro della pala a 1/3 della lunghezza della pala, quindi più vicina al centro di rotazione;
- $C_d = 0,04$  per oggetti affusolati e aerodinamici;
- A superficie efficace che la pala oppone alla resistenza generata dall'aria, si assume pari a 134 mq sulla base delle caratteristiche geometriche della pala (lunghezza 67.2 m, larghezza massima 4.3 m, corda 4.00 m), e del moto rotazionale complesso a cui la pala è soggetta in caso di distacco.

Si è proceduto per tentativi al fine di definire l'angolo  $\alpha_0$  a cui avviene il distacco più gravoso, cautelativamente si sono analizzati entrambi i sensi di rotazioni.



Nel caso in esame il risultato è stato  $\alpha_o = 247^\circ$ .

In considerazione del fatto che il terreno nell'immediato intorno degli aerogeneratori di progetto è pressoché pianeggiante, ma trovandoci zona caratterizzate da leggeri rilievi morfologici, cautelativamente si è condotta una ulteriore ipotesi che prevede la quota di impatto punto di caduta posta più bassa della quota di base della torre. Sulla base dei valori rilevati in sito, si è fissata un' altezza media cautelativa di ulteriori 50 m.

Si è considerata la velocità massima del vento pari a 40 m/s.

Oltre questa velocità le pale vanno in stallo e non ruotano. La velocità del vento determina una componente del moto che è perpendicolare al piano di rotazione del rotore.

Il valore della densità dell'aria considerato è  $\rho = 0,898$ , pari alla densità dell'aria con temperatura di  $40^\circ\text{C}$  alla quota di 200 m s.l.m. (valori limite che determinano le condizioni più sfavorevoli nel calcolo).

Nel grafico la traiettoria del moto che ricordiamo, avviene nello spazio XYZ.

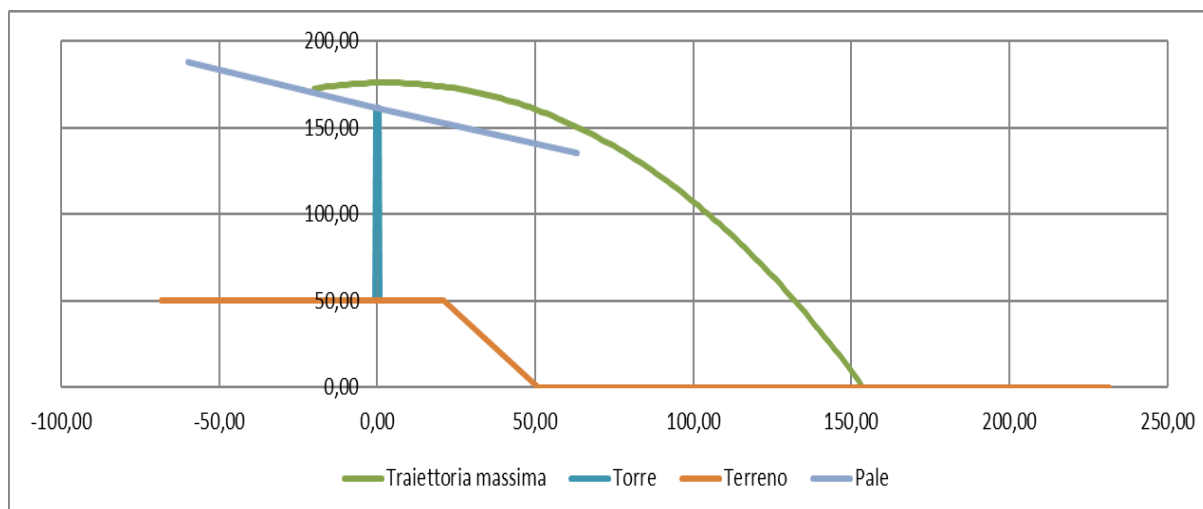


Figura 4 - Traiettoria del moto della pala intera, a seguito del distacco

Di seguito sono riportati in modo tabellati i valori della traiettoria, in senso orario, suddivisi per frazioni di volo.

Angolo di rottura pari a 336,1°

t1	x1	y1
[s]	[m]	[m]
0,00	-19,99	172,53
0,07	-18,00	173,09
0,14	-16,01	173,60
0,21	-14,04	174,05
0,28	-12,06	174,46
0,35	-10,09	174,81
0,42	-8,13	175,12
0,49	-6,17	175,37
0,57	-4,22	175,58
0,64	-2,28	175,74
0,71	-0,33	175,84
0,78	1,60	175,90
0,85	3,53	175,91
0,92	5,45	175,87
0,99	7,37	175,78
1,06	9,29	175,65
1,13	11,20	175,46
1,20	13,10	175,23
1,27	15,00	174,95
1,34	16,89	174,62
1,41	18,77	174,24
1,48	20,65	173,81
1,55	22,53	173,34

Angolo di rottura pari a 247,5°

t2	x2	y2
[s]	[m]	[m]
0,00	21,10	152,76
0,06	22,90	153,12
0,13	24,69	153,43
0,19	26,49	153,71
0,26	28,28	153,94
0,32	30,06	154,13
0,39	31,84	154,28
0,45	33,61	154,39
0,51	35,38	154,46
0,58	37,15	154,49
0,64	38,91	154,48
0,71	40,67	154,43
0,77	42,42	154,34
0,83	44,16	154,21
0,90	45,91	154,03
0,96	47,65	153,82
1,03	49,38	153,57
1,09	51,11	153,28
1,16	52,83	152,95
1,22	54,55	152,57
1,28	56,27	152,16
1,35	57,98	151,71
1,41	59,69	151,22

Angolo di rottura pari a 336,1°

t1	x1	y1
[s]	[m]	[m]
1,62	24,40	172,82
1,70	26,27	172,25
1,77	28,13	171,63
1,84	29,98	170,97
1,91	31,83	170,26
1,98	33,68	169,50
2,05	35,52	168,70
2,12	37,35	167,85
2,19	39,18	166,95
2,26	41,00	166,01
2,33	42,82	165,02
2,40	44,63	163,99
2,47	46,44	162,90
2,54	48,25	161,78
2,61	50,04	160,61
2,68	51,84	159,39
2,75	53,63	158,12
2,83	55,41	156,81
2,90	57,19	155,46
2,97	58,96	154,06
3,04	60,73	152,62
3,11	62,49	151,13
3,18	64,25	149,59
3,25	66,00	148,02
3,32	67,75	146,39
3,39	69,49	144,73
3,46	71,23	143,02
3,53	72,96	141,26
3,60	74,69	139,46
3,67	76,42	137,62
3,74	78,13	135,73
3,81	79,85	133,80
3,88	81,56	131,83
3,96	83,26	129,81
4,03	84,96	127,75
4,10	86,66	125,65
4,17	88,34	123,50
4,24	90,03	121,31
4,31	91,71	119,08
4,38	93,39	116,81

Angolo di rottura pari a 247,5°

t2	x2	y2
[s]	[m]	[m]
1,48	61,39	150,70
1,54	63,09	150,13
1,61	64,79	149,52
1,67	66,48	148,88
1,73	68,16	148,19
1,80	69,84	147,47
1,86	71,52	146,71
1,93	73,19	145,91
1,99	74,86	145,07
2,06	76,53	144,20
2,12	78,19	143,28
2,18	79,84	142,33
2,25	81,49	141,34
2,31	83,14	140,31
2,38	84,78	139,24
2,44	86,42	138,14
2,50	88,06	137,00
2,57	89,69	135,82
2,63	91,31	134,60
2,70	92,93	133,35
2,76	94,55	132,06
2,83	96,16	130,73
2,89	97,77	129,37
2,95	99,38	127,96
3,02	100,98	126,53
3,08	102,58	125,05
3,15	104,17	123,54
3,21	105,76	121,99
3,28	107,34	120,41
3,34	108,93	118,78
3,40	110,50	117,13
3,47	112,07	115,43
3,53	113,64	113,70
3,60	115,21	111,94
3,66	116,77	110,14
3,72	118,32	108,30
3,79	119,88	106,43
3,85	121,43	104,52
3,92	122,97	102,57
3,98	124,51	100,59

Angolo di rottura pari a 336,1°

t1	x1	y1
[s]	[m]	[m]
4,45	95,06	114,49
4,52	96,72	112,13
4,59	98,38	109,73
4,66	100,04	107,29
4,73	101,69	104,80
4,80	103,34	102,28
4,87	104,98	99,71
4,94	106,62	97,10
5,01	108,25	94,45
5,09	109,88	91,75
5,16	111,51	89,02
5,23	113,13	86,24
5,30	114,74	83,42
5,37	116,35	80,57
5,44	117,96	77,67
5,51	119,56	74,73
5,58	121,16	71,75
5,65	122,75	68,73
5,72	124,34	65,67
5,79	125,92	62,57
5,86	127,50	59,43
5,93	129,07	56,25
6,00	130,64	53,03
6,07	132,21	49,76
6,15	133,77	46,46
6,22	135,33	43,12
6,29	136,88	39,74
6,36	138,43	36,33
6,43	139,97	32,87
6,50	141,51	29,37
6,57	143,05	25,84
6,64	144,58	22,26
6,71	146,10	18,65
6,78	147,63	14,99
6,85	149,14	11,30
6,92	150,66	7,57
6,99	152,17	3,81
7,06	153,67	0,00

Angolo di rottura pari a 247,5°

t2	x2	y2
[s]	[m]	[m]
4,05	126,05	98,58
4,11	127,58	96,53
4,17	129,11	94,44
4,24	130,63	92,32
4,30	132,16	90,17
4,37	133,67	87,98
4,43	135,19	85,75
4,50	136,70	83,49
4,56	138,20	81,20
4,62	139,70	78,87
4,69	141,20	76,51
4,75	142,69	74,11
4,82	144,18	71,68
4,88	145,67	69,21
4,95	147,15	66,71
5,01	148,63	64,18
5,07	150,11	61,61
5,14	151,58	59,01
5,20	153,04	56,37
5,27	154,51	53,70
5,33	155,97	51,00
5,39	157,42	48,26
5,46	158,88	45,49
5,52	160,32	42,69
5,59	161,77	39,85
5,65	163,21	36,99
5,72	164,65	34,08
5,78	166,08	31,15
5,84	167,51	28,18
5,91	168,94	25,18
5,97	170,36	22,14
6,04	171,78	19,08
6,10	173,20	15,98
6,17	174,61	12,85
6,23	176,02	9,68
6,29	177,42	6,49
6,36	178,82	3,26
6,42	180,22	0,00

<b>Wind Energy Sant Agata Srl</b> Via Caravaggio, 125 65125 – Pescara windsantagatasrl@legpec.it	<b>PROGETTO PER LA REALIZZAZIONE DI UN  IMPIANTO EOLICO NEL COMUNE DI  SANT'AGATA DI PUGLIA (FG)</b>	Nome del file: <b>VWS-CIV-REL-043_02</b>
---	--	---

Il valore della distanza ( $X_{caduta} - X_{torre}$ ), ottenuto dal calcolo è pari a 180,22 m.

Il tempo di permanenza in volo massimo è di 7,06 secondi circa.

**Il valore della gittata massima, considerando la lunghezza della pala (2/3L) è  $G_{max} = 224,3$  m.**

### 1.1. ROTTURA DI FRAMMENTO CON LUNGHEZZA 10 M

Benché, come detto, il distacco di un frammento di pala è da considerarsi un evento pressoché impossibile, di seguito si riporta il valore della gittata massima come soluzione dell'equazione differenziale più volte richiamata, nel caso di un frammento di lunghezza pari a 10 m.

I parametri fisici e geometrici che si assumeranno saranno i seguenti:

- $M = 2.500$  kg in relazione alle caratteristiche geometriche della pala, come frazione del suo peso complessivo;
- Altezza mozzo  $Q_t = 111,5$  m, diametro rotore 137 m, lunghezza pala 67,2 m, lunghezza frammento 10 m, velocità di rotazione 13,10 g/min (velocità massima consentita per il tipo di aerogeneratore);
- La posizione del baricentro della pala a 1/2 della lunghezza del frammento;
- $C_d = 0.2$ , sulla base di dati riportati in letteratura;
- A superficie efficace che la pala oppone alla resistenza generata dall'aria, si assume pari a 18 mq sulla base delle caratteristiche geometriche della pala e del frammento e del moto rotazionale complesso a cui il frammento è sottoposto.

Si è proceduto per tentativi al fine di definire l'angolo  $\alpha_0$  a cui avviene il distacco più gravoso, cautelativamente si sono analizzati entrambi i sensi di rotazioni. Nel caso in esame il risultato è stato  $\alpha_0 = 231^\circ$ .

In considerazione del fatto che il terreno nell'immediato intorno degli aerogeneratori di progetto è pressoché pianeggiante, ma trovandoci zona caratterizzate da leggeri rilievi morfologici, cautelativamente si è condotta una ulteriore ipotesi che prevede la quota di impatto punto di caduta posta più bassa della quota di base della torre. Sulla base dei valori rilevati in sito, si è fissata un' altezza media cautelativa di ulteriori 50 m.

Si è considerata la velocità massima del vento di 40 m/s a cui funziona l'aerogeneratore. Oltre questa velocità le pale vanno in stallo e non ruotano. La velocità del vento determina una componente del moto che è perpendicolare al piano di rotazione del rotore.

<b>PHEEDRA Srl</b> Servizi di Ingegneria Integrata Via Lago di Nemi, 90 74121 – Taranto (Italy) Tel. +39.099.7722302 – Fax: +39.099.9870285 Email: info@pheedra.it – web: www.pheedra.it	<b>RELAZIONE SULLA GITTATA MASSIMA  DEGLI ELEMENTI ROTANTI</b>	Pagina 15 di 29
---	--	-----------------

Il valore della densità dell'aria considerato è  $\rho = 0,898$ , pari alla densità dell'aria con temperatura di 40°C alla quota di 200 m s.l.m. (valori limite che determinano le condizioni più sfavorevoli nel calcolo).

Nel grafico la traiettoria del moto che ricordiamo, avviene nello spazio XYZ.

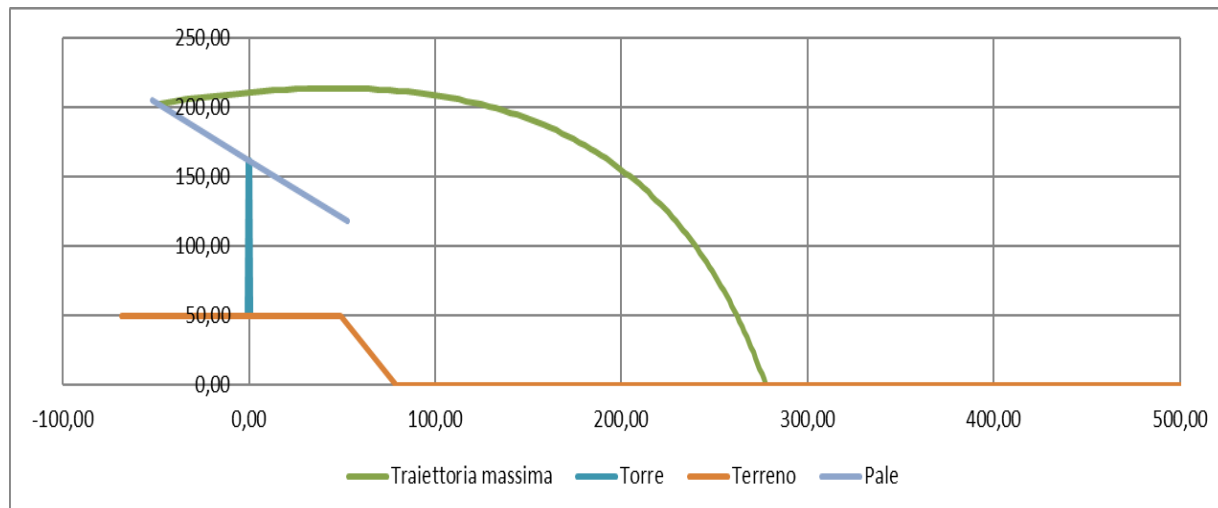


Figura 5 - Traiettoria del moto di un frammento di 10 m, a seguito di rottura

Di seguito sono riportati in modo tabellati i valori della traiettoria, in senso orario, suddivisi per frazioni di volo.

Angolo di rottura pari a 324,3°

t1	x1	y1
[s]	[m]	[m]
0,00	-48,14	202,92
0,10	-40,74	204,45
0,20	-33,50	205,87
0,30	-26,39	207,16
0,39	-19,42	208,33
0,49	-12,59	209,38
0,59	-5,89	210,32
0,69	0,67	211,15
0,79	7,11	211,87
0,89	13,42	212,47
0,99	19,61	212,97
1,09	25,68	213,37
1,18	31,63	213,66
1,28	37,46	213,86
1,38	43,18	213,95
1,48	48,79	213,95
1,58	54,29	213,85

Angolo di rottura pari a 230,7°

t2	x2	y2
[s]	[m]	[m]
0,00	49,13	121,27
0,09	54,48	124,10
0,19	59,73	126,79
0,28	64,88	129,35
0,38	69,93	131,77
0,47	74,89	134,07
0,56	79,76	136,23
0,66	84,54	138,27
0,75	89,23	140,19
0,84	93,83	141,98
0,94	98,35	143,66
1,03	102,78	145,22
1,13	107,13	146,67
1,22	111,40	148,00
1,31	115,59	149,22
1,41	119,71	150,34
1,50	123,74	151,35

Angolo di rottura pari a 324,3°

t1	x1	y1
[s]	[m]	[m]
1,68	59,68	213,67
1,78	64,96	213,39
1,87	70,15	213,02
1,97	75,23	212,56
2,07	80,21	212,02
2,17	85,09	211,40
2,27	89,88	210,69
2,37	94,58	209,90
2,47	99,18	209,03
2,57	103,69	208,09
2,66	108,12	207,07
2,76	112,46	205,97
2,86	116,71	204,80
2,96	120,88	203,56
3,06	124,97	202,25
3,16	128,98	200,87
3,26	132,91	199,42
3,35	136,77	197,91
3,45	140,55	196,33
3,55	144,25	194,69
3,65	147,88	192,98
3,75	151,44	191,21
3,85	154,94	189,39
3,95	158,36	187,50
4,05	161,72	185,56
4,14	165,01	183,56
4,24	168,24	181,50
4,34	171,40	179,40
4,44	174,50	177,23
4,54	177,54	175,02
4,64	180,53	172,75
4,74	183,45	170,43
4,83	186,32	168,07
4,93	189,13	165,65
5,03	191,88	163,19
5,13	194,59	160,68
5,23	197,24	158,13
5,33	199,83	155,53
5,43	202,38	152,89
5,53	204,88	150,20

Angolo di rottura pari a 230,7°

t2	x2	y2
[s]	[m]	[m]
1,59	127,70	152,25
1,69	131,59	153,06
1,78	135,41	153,76
1,88	139,15	154,36
1,97	142,83	154,87
2,06	146,43	155,28
2,16	149,97	155,60
2,25	153,45	155,83
2,34	156,86	155,97
2,44	160,20	156,02
2,53	163,49	155,98
2,63	166,71	155,86
2,72	169,87	155,66
2,81	172,98	155,37
2,91	176,03	155,00
3,00	179,02	154,56
3,09	181,95	154,04
3,19	184,83	153,44
3,28	187,66	152,77
3,38	190,43	152,02
3,47	193,15	151,21
3,56	195,83	150,32
3,66	198,45	149,37
3,75	201,02	148,34
3,84	203,55	147,25
3,94	206,03	146,10
4,03	208,46	144,88
4,13	210,85	143,60
4,22	213,19	142,25
4,31	215,49	140,85
4,41	217,75	139,39
4,50	219,96	137,87
4,59	222,14	136,29
4,69	224,27	134,65
4,78	226,36	132,96
4,88	228,42	131,22
4,97	230,44	129,42
5,06	232,42	127,58
5,16	234,36	125,68
5,25	236,27	123,73

Angolo di rottura pari a 324,3°

t1	x1	y1
[s]	[m]	[m]
5,62	207,32	147,48
5,72	209,73	144,71
5,82	212,08	141,90
5,92	214,39	139,05
6,02	216,65	136,16
6,12	218,87	133,24
6,22	221,04	130,27
6,31	223,17	127,28
6,41	225,26	124,24
6,51	227,31	121,17
6,61	229,32	118,06
6,71	231,29	114,92
6,81	233,23	111,75
6,91	235,12	108,55
7,01	236,98	105,31
7,10	238,80	102,04
7,20	240,58	98,74
7,30	242,33	95,41
7,40	244,05	92,05
7,50	245,73	88,67
7,60	247,38	85,25
7,70	249,00	81,81
7,79	250,59	78,33
7,89	252,14	74,84
7,99	253,67	71,31
8,09	255,16	67,76
8,19	256,63	64,19
8,29	258,06	60,59
8,39	259,47	56,96
8,49	260,85	53,32
8,58	262,21	49,65
8,68	263,54	45,95
8,78	264,84	42,24
8,88	266,12	38,50
8,98	267,37	34,74
9,08	268,59	30,96
9,18	269,80	27,16
9,27	270,98	23,33
9,37	272,13	19,49
9,47	273,27	15,63

Angolo di rottura pari a 230,7°

t2	x2	y2
[s]	[m]	[m]
5,34	238,14	121,73
5,44	239,97	119,68
5,53	241,78	117,58
5,63	243,54	115,44
5,72	245,28	113,26
5,81	246,98	111,02
5,91	248,66	108,75
6,00	250,30	106,43
6,09	251,91	104,07
6,19	253,49	101,67
6,28	255,04	99,22
6,38	256,56	96,74
6,47	258,06	94,22
6,56	259,52	91,65
6,66	260,96	89,05
6,75	262,37	86,42
6,84	263,76	83,75
6,94	265,12	81,04
7,03	266,46	78,29
7,13	267,77	75,51
7,22	269,05	72,70
7,31	270,31	69,86
7,41	271,55	66,98
7,50	272,77	64,07
7,59	273,96	61,13
7,69	275,13	58,16
7,78	276,28	55,15
7,88	277,41	52,12
7,97	278,52	49,06
8,06	279,60	45,97
8,16	280,67	42,85
8,25	281,71	39,71
8,34	282,74	36,54
8,44	283,75	33,34
8,53	284,74	30,11
8,63	285,71	26,86
8,72	286,66	23,59
8,81	287,60	20,29
8,91	288,51	16,97
9,00	289,42	13,62

Angolo di rottura pari a 324,3°

t1	x1	y1
[s]	[m]	[m]
9,57	274,38	11,75
9,67	275,47	7,85
9,77	276,54	3,94
9,87	277,59	0,00

Angolo di rottura pari a 230,7°

t2	x2	y2
[s]	[m]	[m]
9,09	290,30	10,25
9,19	291,17	6,85
9,28	292,02	3,44
9,38	292,85	0,00

Il valore della distanza ( $X_{caduta} - X_{torre}$ ), ottenuto dal calcolo è pari a 292,85 m.

Il tempo di permanenza in volo è di 9,87 secondi circa.

**Il valore della gittata massima, considerando metà lunghezza del frammento (1/2L) è  $G_{max} = 297,85$  m.**

## 1.2. ROTTURA DI FRAMMENTO CON LUNGHEZZA 5 M

Nel caso in cui il frammento di pala che subisce il distacco sia di lunghezza pari a 5 m, i parametri fisici e geometrici che sia assumeranno saranno i seguenti:

- $M = 1250$  kg in relazione alle caratteristiche geometriche della pala, come frazione del suo peso complessivo;
- Altezza mozzo  $Q_t = 111,5$  m, diametro rotore 137 m, lunghezza pala 67,2 m, lunghezza frammento 5 m, velocità di rotazione 13.10 g/min (velocità massima consentita per il tipo di aerogeneratore);
- La posizione del baricentro della pala a 1/2 della lunghezza del frammento;
- $C_d = 0.2$ , sulla base di dati riportati in letteratura;
- A superficie efficace che la pala oppone alla resistenza generata dall'aria, si assume pari a 9 mq sulla base delle caratteristiche geometriche della pala e del frammento e del moto rotazionale complesso a cui il frammento è sottoposto.

Si è proceduto per tentativi al fine di definire l'angolo  $\alpha_0$  a cui avviene il distacco. Nel caso in esame il risultato è stato  $\alpha_0 = 230^\circ$ .

In considerazione del fatto che il terreno nell'immediato intorno degli aerogeneratori di progetto è pressoché pianeggiante, ma trovandoci zona caratterizzate da leggeri rilievi morfologici, cautelativamente si è condotta una ulteriore ipotesi che prevede la quota di impatto punto di caduta

posta più bassa della quota di base della torre. Sulla base dei valori rilevati in sito, si è fissata un' altezza media cautelativa di ulteriori 50 m.

Si è considerata la velocità massima del vento di 40 m/s a cui funziona l'aerogeneratore. Oltre questa velocità le pale vanno in stallo e non ruotano. La velocità del vento determina una componente del moto che è perpendicolare al piano di rotazione del rotore.

Il valore della densità dell'aria considerato è  $\rho = 0,898$ , pari alla densità dell'aria con temperatura di 40°C alla quota di 200 m s.l.m. (valori limite che determinano le condizioni più sfavorevoli nel calcolo).

Nel grafico la traiettoria del moto che ricordiamo, avviene nello spazio XYZ.

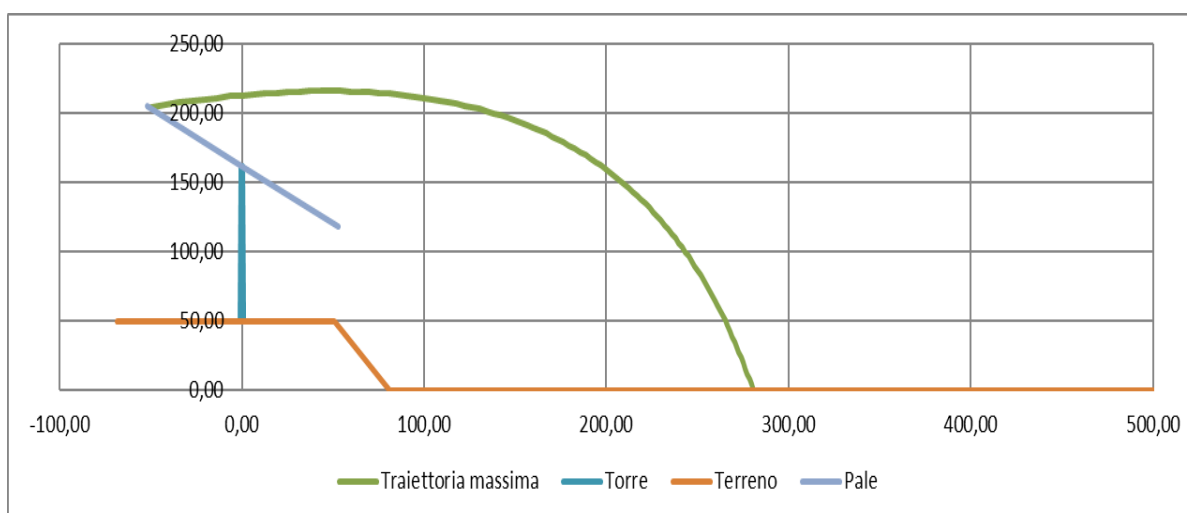


Figura 6 - Traiettoria del moto di un frammento di 5 m, a seguito di rottura

Di seguito sono riportati in modo tabellati i valori della traiettoria, in senso orario, suddivisi per frazioni di volo.

Angolo di rottura pari a 324,2°

t1	x1	y1
[s]	[m]	[m]
0,00	-49,96	204,62
0,10	-42,42	206,21
0,20	-35,02	207,66
0,30	-27,77	208,99
0,40	-20,67	210,20
0,50	-13,70	211,29
0,60	-6,87	212,27
0,70	-0,17	213,12
0,80	6,39	213,87
0,90	12,83	214,50
0,99	19,13	215,02

Angolo di rottura pari a 230,6°

t2	x2	y2
[s]	[m]	[m]
0,00	51,02	119,63
0,09	56,43	122,57
0,19	61,73	125,37
0,28	66,94	128,03
0,38	72,05	130,55
0,47	77,07	132,94
0,57	81,99	135,20
0,66	86,82	137,33
0,76	91,56	139,33
0,85	96,21	141,21
0,94	100,77	142,97

Angolo di rottura pari a 324,2°

t1	x1	y1
[s]	[m]	[m]
1,09	25,32	215,44
1,19	31,38	215,76
1,29	37,32	215,97
1,39	43,15	216,08
1,49	48,86	216,09
1,59	54,45	216,01
1,69	59,94	215,83
1,79	65,32	215,56
1,89	70,60	215,20
1,99	75,77	214,75
2,09	80,83	214,21
2,19	85,80	213,59
2,29	90,67	212,88
2,39	95,45	212,09
2,49	100,13	211,22
2,59	104,72	210,27
2,69	109,21	209,25
2,78	113,62	208,15
2,88	117,95	206,97
2,98	122,18	205,72
3,08	126,34	204,40
3,18	130,41	203,01
3,28	134,40	201,55
3,38	138,32	200,03
3,48	142,15	198,43
3,58	145,91	196,78
3,68	149,60	195,06
3,78	153,21	193,27
3,88	156,76	191,43
3,98	160,23	189,53
4,08	163,63	187,56
4,18	166,97	185,54
4,28	170,24	183,47
4,38	173,45	181,34
4,48	176,60	179,15
4,58	179,68	176,91
4,67	182,70	174,62
4,77	185,66	172,28
4,87	188,56	169,89
4,97	191,41	167,45

Angolo di rottura pari a 230,6°

t2	x2	y2
[s]	[m]	[m]
1,04	105,25	144,61
1,13	109,64	146,13
1,23	113,95	147,53
1,32	118,18	148,82
1,42	122,34	150,00
1,51	126,41	151,08
1,61	130,41	152,04
1,70	134,33	152,90
1,79	138,18	153,66
1,89	141,96	154,32
1,98	145,67	154,88
2,08	149,30	155,34
2,17	152,87	155,71
2,27	156,38	155,98
2,36	159,81	156,16
2,45	163,19	156,25
2,55	166,50	156,25
2,64	169,75	156,17
2,74	172,93	156,00
2,83	176,06	155,75
2,93	179,13	155,41
3,02	182,14	155,00
3,12	185,10	154,50
3,21	188,00	153,93
3,30	190,84	153,29
3,40	193,64	152,56
3,49	196,38	151,77
3,59	199,06	150,90
3,68	201,70	149,97
3,78	204,29	148,96
3,87	206,83	147,89
3,97	209,33	146,75
4,06	211,77	145,54
4,15	214,18	144,27
4,25	216,53	142,94
4,34	218,84	141,54
4,44	221,11	140,09
4,53	223,34	138,57
4,63	225,52	137,00
4,72	227,67	135,37

Angolo di rottura pari a 324,2°

t1	x1	y1
[s]	[m]	[m]
5,07	194,20	164,96
5,17	196,94	162,43
5,27	199,62	159,85
5,37	202,25	157,22
5,47	204,83	154,55
5,57	207,35	151,83
5,67	209,83	149,08
5,77	212,26	146,28
5,87	214,64	143,44
5,97	216,97	140,56
6,07	219,26	137,64
6,17	221,50	134,68
6,27	223,70	131,68
6,37	225,85	128,65
6,46	227,96	125,58
6,56	230,03	122,48
6,66	232,06	119,34
6,76	234,05	116,16
6,86	236,00	112,96
6,96	237,92	109,72
7,06	239,79	106,44
7,16	241,63	103,14
7,26	243,43	99,80
7,36	245,20	96,44
7,46	246,93	93,04
7,56	248,62	89,62
7,66	250,29	86,16
7,76	251,92	82,68
7,86	253,52	79,17
7,96	255,09	75,64
8,06	256,62	72,07
8,16	258,13	68,49
8,26	259,60	64,87
8,35	261,05	61,23
8,45	262,47	57,57
8,55	263,86	53,88
8,65	265,23	50,17
8,75	266,56	46,44
8,85	267,87	42,68
8,95	269,16	38,91

Angolo di rottura pari a 230,6°

t2	x2	y2
[s]	[m]	[m]
4,82	229,77	133,68
4,91	231,84	131,94
5,00	233,86	130,15
5,10	235,85	128,30
5,19	237,80	126,40
5,29	239,71	124,45
5,38	241,59	122,45
5,48	243,44	120,40
5,57	245,24	118,30
5,67	247,02	116,15
5,76	248,76	113,96
5,85	250,47	111,72
5,95	252,15	109,44
6,04	253,79	107,11
6,14	255,41	104,74
6,23	256,99	102,32
6,33	258,55	99,87
6,42	260,07	97,38
6,52	261,57	94,84
6,61	263,04	92,27
6,70	264,48	89,65
6,80	265,90	87,00
6,89	267,29	84,32
6,99	268,65	81,59
7,08	269,99	78,83
7,18	271,30	76,04
7,27	272,59	73,21
7,36	273,85	70,35
7,46	275,09	67,45
7,55	276,31	64,52
7,65	277,50	61,56
7,74	278,67	58,57
7,84	279,82	55,55
7,93	280,95	52,50
8,03	282,06	49,42
8,12	283,14	46,31
8,21	284,21	43,17
8,31	285,26	40,00
8,40	286,28	36,81
8,50	287,29	33,58

Angolo di rottura pari a 324,2°

t1	x1	y1
[s]	[m]	[m]
9,05	270,42	35,11
9,15	271,65	31,28
9,25	272,86	27,44
9,35	274,05	23,58
9,45	275,21	19,70
9,55	276,35	15,80
9,65	277,47	11,88
9,75	278,56	7,94
9,85	279,64	3,98
9,95	280,69	0,00

Angolo di rottura pari a 230,6°

t2	x2	y2
[s]	[m]	[m]
8,59	288,28	30,34
8,69	289,25	27,06
8,78	290,20	23,76
8,88	291,13	20,44
8,97	292,05	17,09
9,06	292,95	13,72
9,16	293,83	10,32
9,25	294,70	6,91
9,35	295,55	3,46
9,44	296,38	0,00

Il valore della distanza ( $X_{caduta} - X_{torre}$ ), ottenuto dal calcolo è pari a 296,38 m.

Il tempo di permanenza in volo è di 9,95 secondi circa.

**Il valore della gittata massima, considerando metà lunghezza del frammento (1/2L) è  $G_{max} = 298,88$  m.**

### 1.3. ROTTURA DI FRAMMENTO CON LUNGHEZZA 1 M

Nel caso in cui il frammento di pala che subisce il distacco sia di lunghezza pari a 1 m, i parametri fisici e geometrici che si assumeranno saranno i seguenti:

- $M = 250$  kg in relazione alle caratteristiche geometriche della pala, come frazione del suo peso complessivo;
- Altezza mozzo  $Q_t = 111,5$  m, diametro rotore 137 m, lunghezza pala 67,2 m, lunghezza frammento 1 m, velocità di rotazione 13.10 g/min (velocità massima consentita per il tipo di aerogeneratore);
- La posizione del baricentro della pala a 1/2 della lunghezza del frammento;
- $C_d = 0.2$ , sulla base di dati riportati in letteratura;
- A superficie efficace che la pala oppone alla resistenza generata dall'aria, si assume pari a 1,8 mq sulla base delle caratteristiche geometriche della pala e del frammento e del moto rotazionale complesso a cui il frammento è sottoposto.

Si è proceduto per tentativi al fine di definire l'angolo  $\alpha_0$  a cui avviene il distacco. Nel caso in esame il risultato è stato  $\alpha_0 = 230,6^\circ$ .

In considerazione del fatto che il terreno nell'immediato intorno degli aerogeneratori di progetto è pressoché pianeggiante, ma trovandoci zona caratterizzate da leggeri rilievi morfologici, cautelativamente si è condotta una ulteriore ipotesi che prevede la quota di impatto punto di caduta posta più bassa della quota di base della torre. Sulla base dei valori rilevati in sito, si è fissata un' altezza media cautelativa di ulteriori 50 m.

Si è considerata la velocità massima del vento di 40 m/s a cui funziona l'aerogeneratore. Oltre questa velocità le pale vanno in stallo e non ruotano. La velocità del vento determina una componente del moto che è perpendicolare al piano di rotazione del rotore.

Il valore della densità dell'aria considerato è  $\rho = 0,898$ , pari alla densità dell'aria con temperatura di 40°C alla quota di 200 m s.l.m. (valori limite che determinano le condizioni più sfavorevoli nel calcolo).

Nel grafico la traiettoria del moto che ricordiamo, avviene nello spazio XYZ.

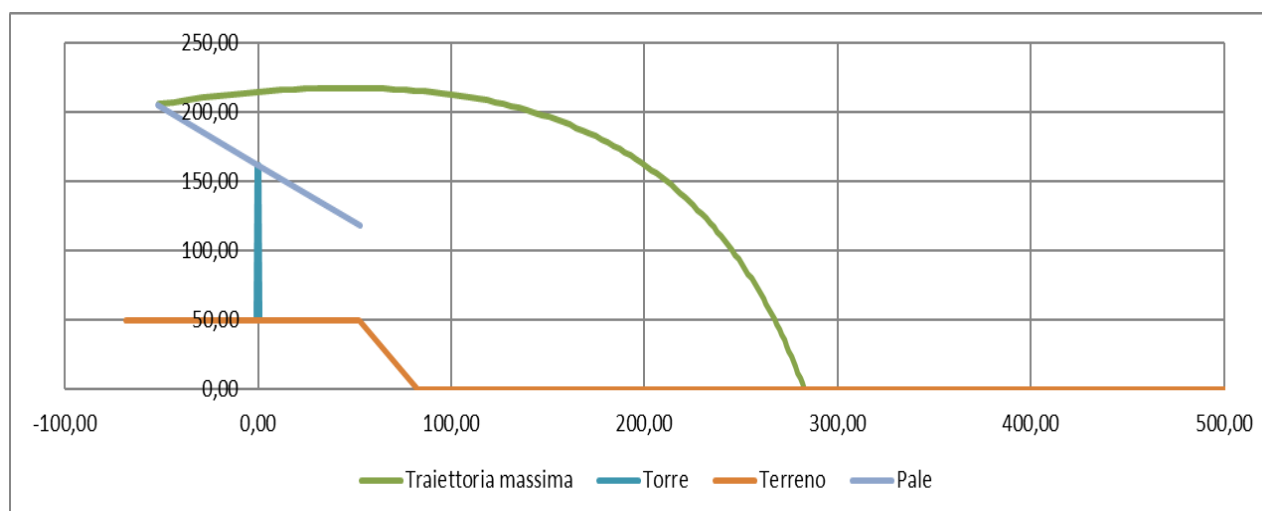


Figura 7 - Traiettoria del moto di un frammento di 1 m, a seguito di rottura

Di seguito sono riportati in modo tabellati i valori della traiettoria, in senso orario, suddivisi per frazioni di volo.

Angolo di rottura pari a 324,1°

t1	x1	y1
[s]	[m]	[m]
0,00	-51,43	205,98
0,10	-43,78	207,59
0,20	-36,28	209,08
0,30	-28,92	210,43
0,40	-21,72	211,66
0,50	-14,65	212,77
0,60	-7,73	213,76
0,70	-0,94	214,64

Angolo di rottura pari a 230,6°

t2	x2	y2
[s]	[m]	[m]
0,00	52,56	118,36
0,09	58,01	121,37
0,19	63,35	124,24
0,28	68,59	126,97
0,38	73,74	129,56
0,47	78,79	132,01
0,57	83,74	134,33
0,66	88,60	136,51

Angolo di rottura pari a 324,1°

t1	x1	y1
[s]	[m]	[m]
0,80	5,72	215,40
0,90	12,24	216,05
1,00	18,63	216,58
1,10	24,90	217,01
1,20	31,04	217,34
1,30	37,06	217,56
1,40	42,96	217,68
1,50	48,74	217,70
1,60	54,41	217,62
1,70	59,97	217,45
1,80	65,42	217,18
1,90	70,76	216,82
2,00	75,99	216,37
2,10	81,12	215,83
2,20	86,15	215,21
2,30	91,08	214,50
2,40	95,91	213,71
2,50	100,65	212,84
2,60	105,29	211,88
2,70	109,84	210,85
2,80	114,30	209,74
2,90	118,67	208,56
3,00	122,95	207,30
3,10	127,15	205,97
3,20	131,27	204,57
3,30	135,31	203,10
3,40	139,26	201,57
3,50	143,14	199,96
3,60	146,94	198,29
3,70	150,66	196,56
3,80	154,32	194,76
3,90	157,90	192,91
4,00	161,40	190,99
4,10	164,84	189,01
4,20	168,21	186,98
4,30	171,52	184,88
4,40	174,76	182,73
4,50	177,93	180,53
4,60	181,04	178,28
4,70	184,09	175,97

Angolo di rottura pari a 230,6°

t2	x2	y2
[s]	[m]	[m]
0,76	93,37	138,57
0,85	98,04	140,51
0,95	102,63	142,32
1,04	107,14	144,00
1,14	111,56	145,57
1,23	115,90	147,03
1,33	120,15	148,36
1,42	124,33	149,59
1,52	128,42	150,70
1,61	132,44	151,71
1,71	136,39	152,61
1,80	140,26	153,41
1,90	144,06	154,10
1,99	147,78	154,69
2,09	151,44	155,19
2,18	155,03	155,59
2,28	158,55	155,89
2,37	162,00	156,10
2,47	165,39	156,22
2,56	168,72	156,25
2,65	171,98	156,19
2,75	175,18	156,05
2,84	178,32	155,82
2,94	181,41	155,51
3,03	184,43	155,11
3,13	187,40	154,64
3,22	190,31	154,09
3,32	193,17	153,46
3,41	195,97	152,75
3,51	198,72	151,97
3,60	201,42	151,12
3,70	204,07	150,20
3,79	206,67	149,21
3,89	209,22	148,14
3,98	211,72	147,02
4,08	214,18	145,82
4,17	216,59	144,56
4,27	218,95	143,24
4,36	221,27	141,85
4,46	223,55	140,40

Angolo di rottura pari a 324,1°

t1	x1	y1
[s]	[m]	[m]
4,80	187,08	173,61
4,90	190,01	171,20
5,00	192,88	168,74
5,10	195,70	166,23
5,20	198,46	163,67
5,30	201,16	161,07
5,40	203,81	158,42
5,50	206,41	155,73
5,60	208,96	153,00
5,70	211,46	150,22
5,80	213,91	147,40
5,90	216,30	144,53
6,00	218,66	141,63
6,10	220,96	138,69
6,20	223,22	135,71
6,30	225,44	132,69
6,40	227,61	129,63
6,50	229,73	126,54
6,60	231,82	123,41
6,70	233,86	120,24
6,80	235,87	117,04
6,90	237,83	113,81
7,00	239,76	110,54
7,10	241,64	107,25
7,20	243,49	103,92
7,30	245,31	100,55
7,40	247,09	97,16
7,50	248,83	93,74
7,60	250,53	90,29
7,70	252,21	86,81
7,80	253,85	83,30
7,90	255,46	79,76
8,00	257,03	76,20
8,10	258,58	72,61
8,20	260,09	69,00
8,30	261,58	65,35
8,40	263,03	61,69
8,50	264,46	58,00
8,60	265,86	54,28
8,70	267,23	50,54

Angolo di rottura pari a 230,6°

t2	x2	y2
[s]	[m]	[m]
4,55	225,78	138,90
4,65	227,97	137,33
4,74	230,12	135,70
4,84	232,23	134,02
4,93	234,30	132,28
5,02	236,33	130,49
5,12	238,33	128,65
5,21	240,28	126,75
5,31	242,20	124,80
5,40	244,08	122,80
5,50	245,93	120,75
5,59	247,74	118,65
5,69	249,52	116,50
5,78	251,27	114,31
5,88	252,98	112,07
5,97	254,66	109,78
6,07	256,31	107,45
6,16	257,93	105,08
6,26	259,52	102,66
6,35	261,07	100,20
6,45	262,60	97,70
6,54	264,10	95,16
6,64	265,57	92,58
6,73	267,02	89,96
6,83	268,43	87,31
6,92	269,82	84,61
7,02	271,19	81,88
7,11	272,53	79,12
7,21	273,84	76,31
7,30	275,13	73,48
7,40	276,39	70,61
7,49	277,63	67,70
7,58	278,85	64,76
7,68	280,04	61,79
7,77	281,22	58,79
7,87	282,37	55,76
7,96	283,50	52,70
8,06	284,60	49,61
8,15	285,69	46,48
8,25	286,75	43,33

Angolo di rottura pari a 324,1°

t1	x1	y1
[s]	[m]	[m]
8,80	268,57	46,78
8,90	269,89	43,00
9,00	271,18	39,19
9,10	272,44	35,36
9,20	273,68	31,51
9,30	274,90	27,64
9,40	276,09	23,75
9,50	277,26	19,84
9,60	278,40	15,91
9,70	279,52	11,96
9,80	280,62	7,99
9,90	281,70	4,01
10,00	282,76	0,00

Angolo di rottura pari a 230,6°

t2	x2	y2
[s]	[m]	[m]
8,34	287,80	40,16
8,44	288,83	36,95
8,53	289,83	33,72
8,63	290,82	30,46
8,72	291,79	27,17
8,82	292,74	23,86
8,91	293,68	20,52
9,01	294,59	17,16
9,10	295,49	13,78
9,20	296,37	10,37
9,29	297,24	6,93
9,39	298,09	3,48
9,48	298,92	0,00

Il valore della distanza ( $X_{\text{caduta}} - X_{\text{torre}}$ ), ottenuto dal calcolo è pari a 298,92 m.

Il tempo di permanenza in volo è di 10,00 secondi circa.

**Il valore della gittata massima, considerando metà lunghezza del frammento ( $1/2L$ ) è  $G_{\text{max}} = 299,42$  m.**

### 3. CONCLUSIONI

È importante rimarcare che, sulla base di accurati studi statistici su aerogeneratori di grossa taglia, la rottura di un frammento di pala è da escludere in considerazione delle caratteristiche costruttive delle pale stesse. Il distacco dell'intera pala è invece potenzialmente possibile, dovuto ad esempio, ad una cattiva manutenzione (verifica del corretto serraggio dei prigionieri che incardinano la pala al centro del rotore).

La definizione del moto di una pala di un aerogeneratore o di un frammento di pala è un problema alquanto complesso. È certo, d'altra parte sulla base dell'esperienza e di semplici considerazioni fisiche (conservazione della quantità di moto), che trattasi di un moto rotazionale complesso in un fluido viscoso (aria).

Il moto libero di un corpo di massa nota  $M$  sotto l'azione delle forze inerziali di gravità e di resistenza dell'aria è descritto, dalle seguenti equazioni:

$$a_x = d^2x/dt^2 = -1/M \times F_D \times \cos\alpha$$

$$a_y = d^2y/dt^2 = 1/2 \rho_{aria} \times C_d \times A \times (w - V_y)^2 / M$$

$$a_z = d^2z/dt^2 = -1/M \times (F_D \times \sin\alpha + M \times g)$$

$$F_D = 1/2 \rho_{aria} \times C_d \times A \times V_{xz}^2$$

In particolare  $F_D$  è la forza di attrito dovuta alla resistenza dell'aria sul corpo in movimento che è direttamente proporzionale al quadrato della velocità ma, dipende dalla densità dell'aria  $\rho_{aria}$ , da forma e superficie dell'elemento in movimento ( $A$ ,  $C_D$ ). Attribuendo opportuni valori ai vari coefficienti si sono risolte le equazioni differenziali, con il metodo iterativo di Eulero, rispetto alle variabili  $x$ ,  $y$  e  $z$ . Da queste poi è stata calcolata la gittata sulla base di considerazioni geometriche.

Dal momento che sono stati considerati per ciascun parametro valori ampiamente conservativi e nelle condizioni di esercizio più gravose (massima velocità di rotazione, massima velocità del vento) il valore della gittata calcolato si può considerare ampiamente conservativo, pertanto da considerarsi quale gittata massima. Il valore calcolato per la gittata massima dell'intera pala nel caso di rottura accidentale è il seguente:

$$\mathbf{G_{max} = 224,3 m (pala intera)}$$

Il calcolo è stato poi eseguito risolvendo le stesse equazioni nel caso in cui il distacco fosse riferito a frammenti di pala, benché tale evento è da considerarsi pressoché impossibile, con i seguenti risultati:

$$\mathbf{G_{max} = 297,85 m (Frammento L = 10 m)}$$

$$\mathbf{G_{max} = 298,88 m (Frammento L = 5 m)}$$

$$\mathbf{G_{max} = 299,42 m (Frammento L = 1 m)}$$

Dai risultati è evidente che:

- Nel caso dell'intera pala il notevole peso (17.800 kg), incide notevolmente sulla lunghezza della traiettoria, oltre che sul tempo di volo;
- Nel caso dei frammenti, quanto più piccoli (e quindi leggeri) essi sono, tanto maggiore è il valore della gittata;
- I valori della gittata sono tutti dipendenti dall'angolo  $\alpha_0$  a cui avviene il distacco. In tutti i casi il valore dell'angolo massimo per cui si ha il valore massimo della gittata è stato definito valutando tutte le possibilità.

<b>Wind Energy Sant Agata Srl</b> Via Caravaggio, 125 65125 – Pescara windsantagatasrl@legpec.it	<b>PROGETTO PER LA REALIZZAZIONE DI UN  IMPIANTO EOLICO NEL COMUNE DI  SANT'AGATA DI PUGLIA (FG)</b>	Nome del file: <b>VWS-CIV-REL-043_02</b>
---	--	---

**Anche nel caso peggiore la gittata si mantiene al di sotto dei 300 m.**

Considerata tale distanza e confrontando essa con i possibili recettori sensibili presenti nel territorio limitrofo, è stato stimato il grado di compatibilità del territorio con la presenza degli aerogeneratori.

<b>PHEEDRA Srl</b> Servizi di Ingegneria Integrata Via Lago di Nemi, 90 74121 – Taranto (Italy) Tel. +39.099.7722302 – Fax: +39.099.9870285 Email: info@pheedra.it – web: www.pheedra.it	<b>RELAZIONE SULA GITTATA MASSIMA  DEGLI ELEMENTI ROTANTI</b>	Pagina 29 di 29
---	---	-----------------